

# طراحی آزمایش‌های آماری برای کالیبراسیون شبیه‌ساز پرواز با شش درجه آزادی

علی باباپور آتشگاه<sup>۱</sup>، عباس سیفی<sup>۲\*</sup> و مرتضی بهبهانی نژاد<sup>۳</sup>

<sup>۱</sup> دانش‌آموخته دانشکده مهندسی صنایع- دانشگاه صنعتی امیرکبیر

<sup>۲</sup> دانشیار دانشکده مهندسی صنایع- دانشگاه صنعتی امیرکبیر

<sup>۳</sup> استادیار دانشکده مهندسی مکانیک- دانشگاه شهید چمران اهواز

(تاریخ دریافت ۱۳/۰۳/۸۵، تاریخ دریافت روایت اصلاح شده ۱۵/۱۰/۸۸، تاریخ تصویب ۱۷/۰۱/۸۹)

## چکیده

کالیبراسیون شبیه‌ساز پرواز موضوعی اجتناب ناپذیر و پیچیده است. هدف مقاله حاضر پاسخ‌گویی به سؤال‌های زیر است:

۱- آیا طرح آزمایش در کیفیت کالیبراسیون تأثیر دارد؟ چه طرحی برای کالیبراسیون مناسب است؟

۲- با چه روشی می‌توان تعداد نقاط آزمایش را تعیین کرد؟

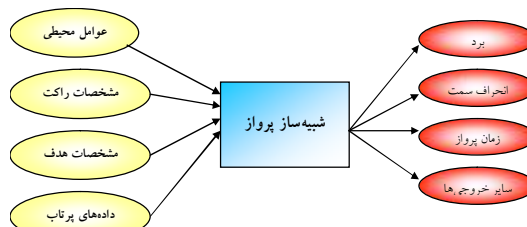
۳- چگونه می‌توان از طراحی و تحلیل آزمایش‌های آماری برای کالیبراسیون استفاده کرد؟

در این تحقیق با استفاده از یک شبیه‌ساز پرواز در دسترس نشان داده شده است که کیفیت کالیبراسیون می‌تواند وابسته به طرح آزمایش باشد و طرح آزمایش مناسب برای کالیبراسیون، طرحی است که نقاط آن بر اساس منطقی مشخص در دامنه تغییرات عوامل توزیع شده باشد. همچنین با استفاده از مفهوم انتروپی، روشی برای انتخاب تعداد نقاط آزمایش پیشنهاد شده است. سپس مسئله کالیبراسیون با استفاده از طراحی و تحلیل آزمایش‌های آماری مدل‌سازی و حل شده است. از جمله مزایای روش پیشنهادی علاوه بر نظاممند کردن فرآیند کالیبراسیون، امکان کالیبراسیون بر اساس معیارهای یک مولفه‌ای از قبیل خطای برد، خطای انحراف سمت و معیارهای ترکیبی است.

**واژه‌های کلیدی:** کالیبراسیون شبیه‌ساز پرواز، آزمایش‌های کامپیوترا، طراحی و تحلیل آزمایش‌های آماری

## مقدمه

مورد نظر از دو عامل  $RCO$  و  $TCO$  به عنوان عوامل مدل استفاده شده است.  $RCO$  برای تصحیح ضرایب آیرودینامیکی و  $TCO$  برای تصحیح اثر راکت‌انداز در شبیه‌ساز به کار برده شده است.

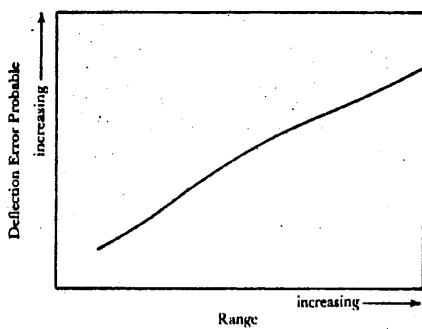


شکل ۱: مدل مفهومی یک شبیه‌ساز پرواز شش درجه آزادی.

منظور از کالیبراسیون، تخمین عوامل مدل ( $RCO$  و  $TCO$ ) به نحوی است که خروجی‌های شبیه‌ساز نسبت به معیارهای تعریف شده کمترین خطای را در مقایسه با نتایج آزمایش‌های میدانی داشته باشند. کالیبراسیون با هدف

به طور کلی شبیه‌سازهای کامپیوترا را می‌توان به دو دسته، قطعی<sup>۱</sup> و تصادفی تقسیم کرد. به شبیه‌سازی‌ای قطعی گفته می‌شود که در هر تکرار برای ورودی‌های یکسان، خروجی‌های یکسانی را تولید کند و در صورتی که ورودی آن تغییر نکند، خروجی آن نیز تغییر نکند. شبیه‌سازهای تصادفی به دلیل وجود عوامل تصادفی با ورودی‌های یکسان در تکرارهای مختلف خروجی‌های متفاوتی تولید می‌کنند. نتایج ارایه شده در تحقیق حاضر مبتنی بر یک شبیه‌ساز پرواز قطعی با شش درجه آزادی است که در طراحی و تحلیل سیستم‌های راکتی به کار برده می‌شود و با دریافت ورودی‌های متعدد پاسخ‌هایی از قبیل برد، انحراف سمت، ارتفاع پرواز، زمان پرواز را تولید می‌کند. مدل مفهومی شبیه‌ساز پرواز در شکل (۱) نشان داده شده است.

عوامل شبیه‌ساز را می‌توان به سه دسته عوامل طراحی، عوامل محیطی و عوامل مدل تقسیم کرد [۳]. در شبیه‌ساز



شکل ۳: تغییرات خطای انحراف سمت نسبت به برد.

### نحوه تولید طرح آزمایش توزیع شده

طرح آزمایش توزیع شده، یکی از طرح های نمونه گیری است که از فضای عوامل با توجه به توزیع احتمال تعیین شده نمونه گیری می کند. با توجه به اینکه در بخش های بعدی، اثر طرح آزمایش مثلثی و یکنواخت با طرح تجربی مقایسه شده، لازم است امکان تولید طرح آزمایش مبتنی بر توزیع یکنواخت و توزیع مثلثی فراهم شود. طرح آزمایش یکنواخت را می توان با استفاده از الگوریتم فوق مکعبی لاتین<sup>۳</sup> (lhsdesign) موجود در نرم افزار MATLAB تولید کرد<sup>۱۵</sup>. برای تولید طرح آزمایش مثلثی در محیط MATLAB نیز برنامه triadesign (نوشته شده است).

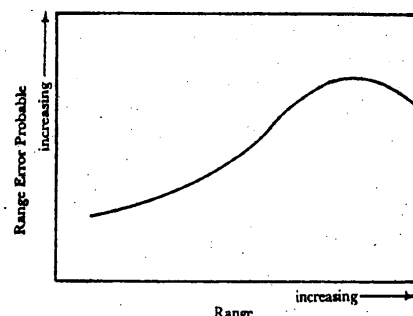
### مقایسه کارآیی طرح های آزمایش تجربی، یکنواخت و مثلثی

به عنوان اولین معیار مقایسه طرح های مختلف، می توان از کیفیت کالیبراسیون استفاده کرد. یعنی با هر طرح، یک شبیه ساز را کالیبره کرده و با مقایسه خروجی شبیه سازها با نتایج میدانی بهترین شبیه ساز کالیبره شده و در نتیجه بهترین طرح آزمایش را انتخاب کرد. سه طرح آزمایش کالیبراسیونی شامل طرح تجربی، طرح یکنواخت و طرح مثلثی مطابق جدول (۱) در دست است. با انتخاب مقداری برای  $RCO$ ,  $TCO$  شبیه ساز به نحوی تنظیم می شود که برد حاصل از آزمایش های آن به برد آزمایش های میدانی نزدیک شود.

نzdیکی هر چه بیشتر مراکز اصابت آزمایش های شبیه ساز به مراکز اصابت واقعی آزمایش های میدانی انجام می شود. منظور از طرح آزمایش در کالیبراسیون، نحوه توزیع شلیک ها در بازه برد راکت است. این مقاله به دنبال پاسخ گویی به سوال های زیر است:

- ۱- آیا تأثیر طرح آزمایش در کیفیت کالیبراسیون شبیه ساز معنی دار است؟ در صورت معنی دار بودن، چه طرحی برای کالیبراسیون شبیه ساز پرواز با شش درجه آزادی مناسب است؟
- ۲- با چه روشی می توان تعداد مناسب نقاط آزمایش را تعیین کرد؟
- ۳- چگونه می توان با استفاده از تجزیه و تحلیل های آزمایش های آماری، کیفیت کالیبراسیون انجام شده را بررسی کرد؟

در شکل (۲) تغییرات خطای برد نسبت به افزایش برد و در شکل (۳) تغییرات خطای انحراف سمت نسبت به افزایش برد نشان داده شده است<sup>[۱۶]</sup>. با ملاحظه این شکل ها می توان گفت که خطای برد و خطای انحراف سمت با افزایش برد افزایش می یابند. تغییرات خطای برد در انتهای بازه برد غیرخطی است، ولی تغییرات خطای انحراف سمت در کل بازه برد به طور تقریبی خطی است. با توجه به اطلاعات حاصل از شکل های (۲) و (۳) به نظر می رسد هر چه طرح آزمایش توزیع شده باشد، بهتر می تواند اثر خطاهای را در کالیبراسیون اعمال کند. در بخش های بعدی چگونگی تولید طرح آزمایش توزیع شده و نحوه مقایسه طرح آزمایش پیشنهادی و طرح تجربی نشان داده شده است.



شکل ۲: تغییرات خطای برد نسبت به برد.

جدول ۳: برد و انحراف سمت آزمایش‌های طرح یکنواخت.

شماره آزمایش	زاویه شلیک به درجه	برد به متر	انحراف سمت به متر
1	30.97	42484	-754
2	34.32	46683	184
3	37.73	52007	-114
4	41.02	57092	1589
5	43.73	58109	-930
6	47.93	64313	628
7	50.90	66510	2360
8	51.55	67573	-1882
9	56.98	70787	2455

جدول ۴: برد و انحراف سمت آزمایش‌های طرح مثلثی.

تست	درجه	زاویه شلیک به درجه	برد به متر	انحراف سمت به متر	شماره
1	32.00	43281	-588		
2	34.32	54077	-862		
3	37.73	61255	-588		
4	41.02	66141	46		
5	43.73	66735	893		
6	47.93	68862	-768		
7	50.90	70250	1398		
8	51.55	71257	-3340		
9	56.98	72578	-915		

با رویکردی مشابه با توجه به برد آزمایش‌های هر طرح و با در نظر گرفتن  $TCO = 1.2$  مقدار  $RCO$  برای هر آزمایش مطابق جدول (۵) به دست آمد و در نهایت مقدار نهایی عامل  $RCO$  با میانگین‌گیری محاسبه شده و در جدول (۶) درج شده است.

جدول ۵: تخمین عوامل کالیبراسیون برای طرح‌های یکنواخت و مثلثی.

شماره آزمایش	یکنواخت	RCO در طرح	RCO در طرح	شماره
آزمایش	مثلي	مثلي	مثلي	آزمایش
1	1.1829	1.2060	RCO در طرح	1.2060
2	1.1875	1.1620	RCO در طرح	1.1620
3	1.1615	1.1910	RCO در طرح	1.1910
4	1.1540	1.1280	RCO در طرح	1.1280
5	1.2360	1.1620	RCO در طرح	1.1620
6	1.2189	1.2140	RCO در طرح	1.2140
7	1.2475	1.1930	RCO در طرح	1.1930
8	1.2367	1.1999	RCO در طرح	1.1999
9	1.2365	1.1900	RCO در طرح	1.1900

سپس سه شبیه‌ساز یکسان و کالیبره نشده با استفاده از نتایج جدول (۶) کالیبره شد. برای سهولت مقایسه، در ادامه شبیه‌سازهای کالیبره شده به ترتیب با U، O، V، Nام‌گذاری شده است. برای ارزیابی و مقایسه سه طرح آزمایش مورد بحث،  $TCO = 1.2$  آزمایش تصادفی تعريف و هر آزمایش سه بار تکرار شد.

جدول ۱: طرح آزمایش تجربی، یکنواخت و مثلثی.

شماره آزمایش	درجه	زاویه شلیک به درجه	طرح یکنواخت	طرح تجربی	شماره آزمایش
1	30	30.97	(زاویه شلیک به درجه)	(زاویه شلیک به درجه)	32.00
2	30	34.32	(زاویه شلیک به درجه)	(زاویه شلیک به درجه)	39.18
3	30	37.73	(زاویه شلیک به درجه)	(زاویه شلیک به درجه)	44.82
4	40	41.02	(زاویه شلیک به درجه)	(زاویه شلیک به درجه)	46.56
5	40	43.73	(زاویه شلیک به درجه)	(زاویه شلیک به درجه)	48.07
6	40	47.93	(زاویه شلیک به درجه)	(زاویه شلیک به درجه)	52.00
7	40	50.90	(زاویه شلیک به درجه)	(زاویه شلیک به درجه)	52.63
8	57	51.55	(زاویه شلیک به درجه)	(زاویه شلیک به درجه)	55.20
9	57	56.98	(زاویه شلیک به درجه)	(زاویه شلیک به درجه)	56.66

با استفاده از یک شبیه‌ساز مبنا، آزمایش‌های تعريف شده هر طرح در شرایط یکسان انجام گرفت و بود و انحراف سمت آزمایش‌ها در جداول (۲)، (۳) و (۴) به ترتیب برای طرح تجربی، یکنواخت و مثلثی ارایه شد. در این جداول علامت منفی در ستون انحراف سمت نشان‌دهنده اصابت راکت در سمت راست هدف و علامت مثبت به منزله اصابت راکت به سمت چپ هدف است.

جدول ۲: برد و انحراف سمت آزمایش‌های طرح تجربی.

شماره آزمایش	درجه	زاویه شلیک به درجه	برد به متر	انحراف سمت به متر	شماره آزمایش
1	30	41538	-496		
2	30	41052	598		
3	30	41176	-214		
4	40	54753	-855		
5	40	53740	3876		
6	40	56014	-622		
7	57	73569	-1865		
8	57	72566	852		
9	57	71871	-1078		

با توجه به رویکرد روش تجربی که در آن محاسبه مقدادیر عوامل کالیبراسیون بر اساس برد انجام می‌گیرد، همان رویکرد برای سایر طرح‌ها نیز به کار برد شده است. با استفاده از اطلاعات جدول (۲) میانگین بر سه زاویه پرتاب به دست آمده است و با تثبیت  $TCO = 1.2$  مقدار  $RCO$  با سعی و خطا به گونه‌ای تنظیم شد که خروجی شبیه‌ساز بر میانگین برد هر زاویه پرتاب منطبق شود، بنابراین برای زاویه پرتاب  $30^\circ$  درجه ( $RCO_{30} = 1.188$ ) برای  $RCO_{40} = 1.28$  درجه ( $RCO_{40} = 1.28$ ) و برای  $57^\circ$  درجه ( $RCO_{57} = 1.189$ ) به دست آمد و در نهایت مقدار عوامل بر اساس طرح تجربی مطابق  $RCO = 1.219$  به دست آمد.

فرض صفر رد می شود. با استناد به نتایج جدول (۷) فرض صفر رد شد و نتیجه گرفتیم که شبیه ساز V به دلیل داشتن مقدار خطای کمتر نسبت به شبیه ساز O بهتر کالیبره شده است.

**جدول ۷: نتایج آزمون T جفتی برای مقایسه شبیه ساز V با شبیه ساز O.**

	N	میانگین	انحراف معیار	انحراف معیار
		میانگین	معیار	میانگین
$e_{VA}$	30	350	905	165
$e_{OA}$	30	-870	842	154
$d_1$	30	1219.8	232.3	42.4

P-value = 0.000

برای مقایسه شبیه ساز U با شبیه ساز O علاوه بر دو خطای  $e_{UA}$  و  $e_{OA}$  مطابق  $e_{VA}$  رابطه (۴) و متغیر  $d_2$  مطابق رابطه (۵) تعریف شده است.

$$e_{UA} = R_U - R_A \quad (4)$$

$$d_2 = e_{UA} - e_{OA} \quad (5)$$

با استفاده از روابط تعریف شده برای مقایسه شبیه ساز U با شبیه ساز O فرض صفر  $H_0: \mu_{d_2} = 0$  تعریف شد.

با استناد به نتایج آزمون T جفتی ارایه شده در جدول (۸) فرض صفر رد می شود. پس می توان گفت شبیه ساز U به دلیل داشتن مقدار خطای کمتر نسبت به شبیه ساز O بهتر کالیبره شده است.

**جدول ۸: نتایج آزمون T جفتی برای مقایسه شبیه ساز U با شبیه ساز O.**

	N	میانگین	انحراف معیار	انحراف معیار
		میانگین	معیار	میانگین
$e_{UA}$	30	-445	860	157
$e_{OA}$	30	-870	842	154
$d_2$	30	425.2	111.9	20.4

P-value = 0.000

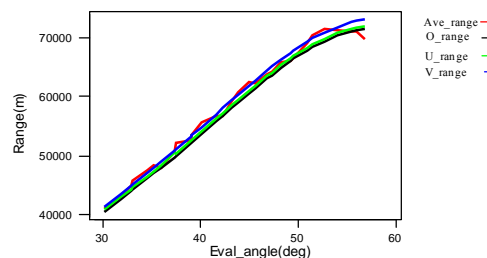
برای مقایسه شبیه ساز V با شبیه ساز U متغیر  $d_3$  توسط رابطه (۶) تعریف و با استفاده از آن فرض صفر  $H_0: \mu_{d_3} = 0$  بررسی شد.

$$d_3 = e_{VA} - e_{UA} \quad (6)$$

اطلاعات حاصله در شکل (۴) ارایه شده است. در این شکل محور افقی نشان دهنده زاویه ارتفاع و محور عمودی نشان دهنده برد نقطه اصابت است که با استفاده از آن می توان گفت برد شبیه ساز V به برد میانگین نزدیک تر است و شبیه ساز V بهتر کالیبره شده است.

**جدول ۹: نتایج تخمین عوامل کالیبراسیون با سه طرح مختلف.**

طرح آزمایش	RCO	TCO
تجربی	1.2190	1.2
یکنواخت	1.2068	1.2
مثلثی	1.1829	1.2



شکل ۹: مقایسه برد میانگین با برد شبیه ساز O، U و V.

نتایج به دست آمده از شکل (۴) با استفاده از آزمون فرض آماری T جفتی<sup>۳</sup> محک زده شد. برای برپایی آزمون T جفتی و مقایسه شبیه ساز V با شبیه ساز O دو خطای  $e_{VA}$  و  $e_{OA}$  مطابق با روابط (۱) و (۲) تعریف شده است.  $e_{VA}$  نشان دهنده تفاوت برد شبیه ساز V با میانگین برد  $e_{VA}$  در سه تکرار هر آزمایش است و  $e_{OA}$  نشان دهنده تفاوت برد شبیه ساز O با میانگین برد در سه تکرار هر آزمایش است.

$$e_{VA} = R_V - R_A \quad (1)$$

$$e_{OA} = R_O - R_A \quad (2)$$

برای بررسی معنی دار بودن تفاوت برد دو شبیه ساز نسبت به میانگین برد، متغیر  $d_1$  طبق رابطه (۳) تعریف شده است.

$$d_1 = e_{VA} - e_{OA} \quad (3)$$

اگر نیز می توان بر اساس روابط (۱) الی (۳) آزمون فرض  $H_0: \mu_{d_1} = 0$  را نوشت و آن را در سطح اطمینان ۹۵ درصد ( $\alpha = 5\%$ ) بررسی کرد. در آزمایش های آماری P-value معیاری برای پذیرش یا رد فرض صفر است. در صورتی که  $P < \alpha$  باشد

طرح یکنواخت و تجربی و میانگین اطلاعات طرح یکنواخت بیشتر از طرح تجربی است. بنابراین، بر اساس این معیار نیز می‌توان نتیجه‌گرفت که طرح مثلثی نسبت به طرح‌های یکنواخت و تجربی، برای کالیبره کردن شبیه‌ساز بهتر است. همچنین طرح یکنواخت در مقایسه با طرح تجربی برای کالیبراسیون مناسب‌تر است.

جدول ۱۰: مقایسه میانگین اطلاعات طرح تجربی، یکنواخت و مثلثی در ۱۰۰۰ تکرار.

	طرح ۱۵ نقطه‌ای	طرح ۱۲ نقطه‌ای	طرح ۹ نقطه‌ای	طرح ۶ نقطه‌ای	طرح ۳ نقطه‌ای	آزمایش
۲۸۷۴۵	۲۲۹۹۶	۱۷۲۴۷	۱۱۴۹۸			تجربی
۲۹۲۹۳	۲۳۴۴۰	۱۷۵۶۳	۱۱۷۲۳			یکنواخت
۳۵۱۵۹	۲۸۱۲۸	۲۱۱۰۳	۱۴۰۵۱			مثلثی

با استفاده از نتایج بررسی‌های انجام گرفته می‌توان گفت که طرح آزمایش بر کیفیت کالیبراسیون تأثیرگذار است و طرح آزمایش مثلثی برای کالیبراسیون شبیه‌ساز با شش درجه آزادی بهتر است.

در ادامه فرض معلوم بودن تعداد آزمایش‌ها را آزاد کرده و رویکردی برای انتخاب تعداد آزمایش‌ها پیشنهاد می‌شود. از آنجا که شاخص انتروپی در قبل برای سنجش میزان اطلاعات یک مجموعه تصادفی استفاده شده است [۱۷]، در این قسمت با استفاده از آن، معیاری برای تعداد آزمایش‌ها ارائه می‌شود. انتروپی یک بردار تصادفی  $x$  با تابع چگالی  $f$  به صورت  $H(x) = -E[\ln f(x)]$  تعریف می‌شود که در آن  $E$  نشان‌دهنده امید ریاضی است [۱۸]. با استفاده از تعریف انتروپی برای طرح آزمایش نیز می‌توان معیاری مطابق با رابطه (۷) تعریف و به عنوان انتروپی طرح آزمایش معرفی کرد.

$$h(x) = \frac{1}{E(\mathbf{x}^T \mathbf{x})} \quad (7)$$

در مطالعه انجام‌شده هر طرح آزمایش ۱۰۰۰ بار تکرار شده است و میانگین اطلاعات ۱۰۰۰ تکرار به عنوان تخمینی از امید ریاضی  $E(\mathbf{x}^T \mathbf{x})$  منظور شده است. در شکل (۵) تغییرات معیار تعریف‌شده نسبت به تعداد نقاط آزمایش نشان داده شده است. با افزایش تعداد نقاط آزمایش از ۱۵ به بالا شیب تغییرات معیار خیلی کند شده است و چندان بر اطلاعات افزوده نمی‌شود.

جدول ۹: نتایج آزمون T جفتی برای مقایسه شبیه‌ساز ۷ با شبیه‌ساز U.

	N	انحراف معیار میانگین	انحراف معیار میانگین	P-value
$e_{VA}$	30	350	905	165
$e_{UA}$	30	-445	860	157
$d_3$	30	794.6	191.2	34.9

P-value = 0.000

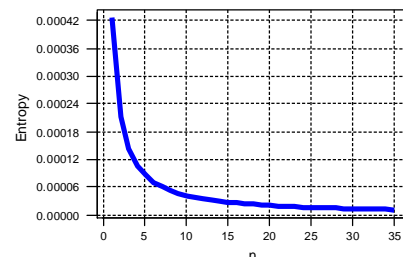
نتایج آزمون T جفتی برای این آزمون فرض در جدول (۹) اراحته شده است. با ملاحظه P-value در جدول (۹) فرض صفر رد می‌شود. بنابراین با توجه به رد فرض صفر می‌توان گفت شبیه‌ساز ۷ به دلیل داشتن میانگین خطای کمتر نسبت به شبیه‌ساز U بهتر شبیه‌ساز ۷ است. بنابراین طرح آزمایش مثلثی در کالیبراسیون شبیه‌ساز پروژه با شش درجه آزادی مناسب‌تر است.

### مقایسه طرح آزمایش تجربی، یکنواخت و مثلثی با استفاده از معیار بهینگی D

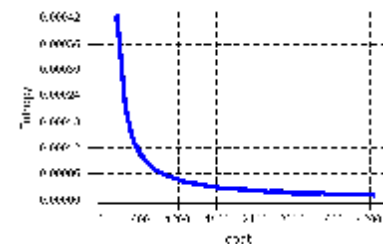
طراحی بهینه یکی از شاخه‌های طراحی آزمایش‌ها است که موضوع بحث آن بررسی الگوریتم‌های تولید طرح آزمایش توسط کامپیوتر است. در طراحی بهینه آزمایش‌ها به ماتریسی که از تغییرات سطوح عوامل به دست می‌آید، ماتریس طراحی اطلاق می‌شود و آن را با ( $\mathbf{X}$ ) نشان می‌دهند. همچنین به عبارت  $(\mathbf{X}^T \mathbf{X})$  ماتریس اطلاعات<sup>۴</sup> گفته می‌شود. در صورتی که طرح آزمایش با بهینه‌سازی دترمینان ماتریس اطلاعات به دست آید، به آن طرح بهینه D اطلاق می‌شود. از جمله کاربردهای طراحی بهینه آزمایش‌ها، امکان مقایسه طرح‌های مختلف بر اساس آن است [۱۶]. از آنجا که طرح آزمایش برای کالیبراسیون تک عاملی است، ماتریس اطلاعات طرح به صورت ضرب داخلی دو بردار  $(\mathbf{X}^T \mathbf{X})$  ظاهر می‌شود که حاصل آن یک اسکالر است. با علم به این موضوع می‌توان از این مقدار برای مقایسه سه طرح تجربی، یکنواخت و مثلثی استفاده کرد. با استفاده از نرمافزار تهیه شده ۱۰۰۰ طرح تصادفی یکنواخت و مثلثی ۶ نقطه‌ای، ۹ نقطه‌ای، ۱۲ نقطه‌ای و ۱۵ نقطه‌ای تولید و با استفاده از ماتریس اطلاعات، مقدار اطلاعات آنها اندازه‌گیری شد که نتایج آن در جدول (۱۰) آمده است. با توجه به آن می‌توان گفت میانگین اطلاعات طرح مثلثی بیشتر از میانگین اطلاعات

نظر کارشناسی، زاویه ارتفاع از  $30^\circ$  درجه تا  $57^\circ$  درجه،  $RCO \leq 1.5$  و  $0 < RCO \leq 2$ - تغییر می‌کنند. با توجه به اینکه طرح مثلثی برای کالیبراسیون برتر تشخیص داده شد، بنابراین در این بخش، آزمایش‌ها با استفاده از طرح جدول (۱) انجام گرفته و در تحلیل اطلاعات برد و انحراف سمت از جدول (۴) استفاده شده است. در طرح آزمایش هر زاویه ارتفاع متراffد با یک شلیک میدانی و هر شلیک میدانی به عنوان یک بلوک در نظر گرفته شده است. با توجه به اینکه طرح مندرج در جدول (۱) شامل ۹ شلیک است، بنابراین در مدل، ۹ بلوک وجود دارد. عامل  $RCO$  عاملی پیوسته است که در این بررسی برای آن پنج سطح  $RCO = 1.07: 1.15: 1.1829: 1.2068: 1.219$  منظور شده است. هر سطح این عامل با  $k$  نشان داده است. همچنین عامل  $TCO$  عاملی پیوسته است و برای آن چهار سطح به صورت  $TCO = 1.1: 1.2: 1.22: 1.3$  در نظر گرفته شده است. هر سطح این عامل با  $k$  نشان داده شده است. پس می‌توان گفت در مسئله کالیبراسیون سه عامل زاویه ارتفاع،  $RCO$  و  $TCO$  وجود دارد. اثر زاویه ارتفاع به صورت اثر بلوکی در نظر گرفته شده است و دو عامل دیگر یکی پنج سطحی و دیگری چهار سطحی در نظر گرفته شده‌اند. طرح آزمایش این مسئله طرح عاملی بلوکی است و تعداد کل آزمایش‌ها برابر با  $180 = 5 \times 4 \times 9$  است. در ازآبجا که کالیبراسیون شبیه‌ساز بر اساس برد و انحراف سمت انجام می‌گیرد، بنابراین برد ( $R$ ) و انحراف سمت ( $AR$ ) آزمایش‌های میدانی باید با انجام شلیک‌های میدانی به دست آیند. در این بررسی به دلیل عدم امکان انجام شلیک‌های میدانی، نتایج ارایه شده با استفاده از یک شبیه‌ساز مبنا استخراج شده است. برد ( $S$ ) و انحراف سمت ( $AS$ ) آزمایش‌های شبیه‌ساز با استفاده از مشخصات فنی و شرایط محیطی یکسان و با استفاده از یک شبیه‌ساز کالیبره نشده تولید شده‌اند. بدین صورت که در هر اجرا مقدار زاویه ارتفاع،  $RCO$  و  $TCO$  تنظیم شده و برد و انحراف سمت اندازه‌گیری شده است. خطای برد مطابق با رابطه (۸) تعریف شده است.

$$E_{R_{ijk}} = |R_i - S_{ijk}| \quad \text{for } i=1,\dots,9, \quad j=1,\dots,5, \quad k=1,\dots,4. \quad (8)$$



شکل ۵: تغییرات انتروپی نسبت به تعداد نقاط آزمایش.

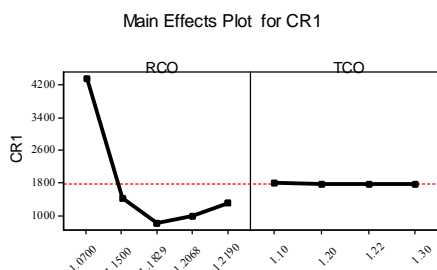


شکل ۶: تغییرات انتروپی نسبت به هزینه آزمایش‌ها.

حال با فرض پیروی هزینه آزمایش‌ها از مدل خطی  $c = a + b(n)$  می‌توان تغییرات انتروپی را نسبت به تغییرات هزینه آزمایش‌ها مورد مطالعه قرار داد. همان‌طوری که ملاحظه می‌شود، هزینه آزمایش‌ها از دو قسمت تشکیل شده است. قسمت اول مستقل از تعداد آزمایش‌ها بوده و قسمت دوم وابسته به تعداد آزمایش‌ها است. در شکل (۶) تغییرات انتروپی با هزینه ارایه شده است. برای رسم شکل (۶) فرض شده است که  $a = 100$  واحد پولی و  $b = 120$  واحد پولی باشد. شکل (۶) نشان می‌دهد که با وجود افزایش هزینه از ۱۲۰۰ واحد پولی به بالا معیار انتروپی بهبود قابل توجهی نمی‌کند. بنابراین طراح آزمایش می‌تواند بین هزینه آزمایش‌ها و تعداد آزمایش تصمیم‌گیری کند.

## کالیبراسیون شبیه‌ساز پرواز شش درجه آزادی با استفاده از DOE

در این قسمت کالیبراسیون شبیه‌ساز با استفاده از DOE مورد بررسی قرار گرفته و چارچوبی جدید برای آن پیشنهاد شده است. با توجه به اینکه آزمایش‌های میدانی برای کالیبراسیون با استفاده از مشخصات فنی یکسان انجام می‌گیرد، سه عامل زاویه ارتفاع،  $RCO$  و  $TCO$  مورد توجه قرار گرفته و بدون خدشه‌دار شدن جامعیت، روش سایر شرایط محیطی یکسان فرض شده است. بر اساس



شکل ۸: نمودار اثر عوامل برای معیار اول.

جدول ۱۱: تحلیل واریانس برای معیار اول.

منبع	DF	مجموع مربعات	F	P-value
Blocks	8	21829567	3.14	0.003
RCO	4	304355683	87.49	0.000
TCO	3	36917	0.01	0.998
RCO*TCO	12	3814820	0.37	0.974
Error	152	132195350		
Total	179	462232337		

معیار دوم با فرض اینکه شبیه‌ساز پرواز می‌خواهد بر اساس انحراف سمت کالیبره شود، تعریف شده است. با توجه به اینکه در کالیبراسیون قدر مطلق انحراف سمت مهم است، رابطه (۱۰) به صورت زیر تعریف شده است:

$$E_{A_{ijk}} = |AR_i - AS_{ijk}| \text{ for } i=1,\dots,9; j=1,\dots,5; k=1,\dots,4 \quad (10)$$

در رابطه (۱۰)  $AR_i$  انحراف سمت زاویه ارتفاع  $i$  و  $AS_{ijk}$  انحراف سمت در زاویه ارتفاع  $i$  و سطح زام عامل  $k$  و سطح  $j$  عامل  $TCO$  است. حال می‌توان معیار دوم را مطابق با رابطه (۱۱) تعریف کرد:

$$CR 2_{jk} = \frac{\sum_{i=1}^9 E_{A_{ijk}}}{9} \quad \forall j, k \quad (11)$$

از نمودار اثر عوامل و اثر متقابل می‌توان برای انتخاب سطح بهینه عوامل با کمینه‌سازی معیار دوم استفاده کرد. نمودارهای مربوطه به ترتیب در شکل‌های (۹) و (۱۰) ارایه شده است. همچنین برای انجام سایر تحلیل‌های لازم می‌توان از جدول تحلیل واریانس در جدول (۱۲) استفاده کرد. با ملاحظه شکل (۹) می‌توان گفت:

(۱) اثر متقابل عوامل، معنی‌دار نیست که این موضوع با توجه به مقدار P-value مربوط به  $RCO * TCO$  در جدول (۱۲) به طور کامل مشهود است.

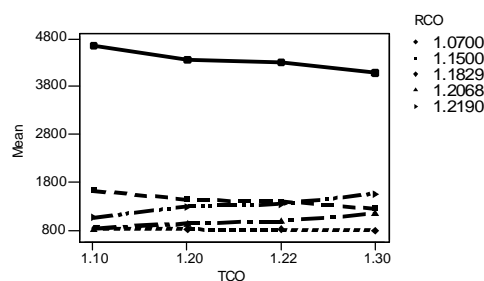
در رابطه (۸)،  $R_i$  برد آزمایش میدانی در زاویه ارتفاع  $i$  و  $S_{ijk}$  برد شبیه‌ساز در زاویه ارتفاع  $i$  و سطح زام عامل  $k$  و سطح  $j$  عامل  $TCO$  است. اگر معیار کالیبراسیون میانگین خطای برد انتخاب شود، می‌توان آن را مطابق با رابطه (۹) نشان داد که باید کمینه شود.

$$CR 1_{jk} = \frac{\sum_{i=1}^9 E_{R_{ijk}}}{9} \quad \forall (j, k) \quad (9)$$

حال با تعریف معیار اول می‌توان با استفاده از نمودار اثر عاملی، نمودار اثر متقابل عوامل و تحلیل واریانس اقدام به انتخاب سطح بهینه عوامل کرد. در شکل (۷) نمودار اثر متقابل دو عامل نشان داده شده است. با توجه به آن می‌توان گفت دو عامل اثر متقابل ضعیفی دارند و می‌توان تأثیر آنها روی معیار اول را مستقل فرض کرد و مقدار بهینه عوامل را از نمودار اثر عاملی استخراج کرد. نمودار اثر عاملی در شکل (۸) ارایه شده است. معیار اول به ازای  $RCO = 1.1829$  کمترین مقدار خود را دارد. از نمودار اثر عاملی به راحتی می‌توان فهمید که معیار اول نسبت به  $RCO$  خیلی حساس است، ولی نسبت به تغییرات  $TCO$  حساسیت چندانی نداشته و می‌توان مقدار این عامل را به دلخواه انتخاب کرد. در این تحقیق مقدار  $TCO = 1.2$  قرار داده شده است.

محاسبات تحلیل واریانس در جدول (۱۱) نشان داده شده است. با توجه به مقدار ستون  $RCO$  عوامل P-value و بلوك در معیار اول خیلی مؤثر هستند، ولی تأثیر عامل  $TCO$  و اثر متقابلی عوامل مهم نیستند که این نتایج منطبق با نتایج حاصل از نمودارها است. از آنجا که اثر بلوك تأثیر طرح آزمایش را نشان می‌دهد. بنابراین با توجه به تأثیر زیاد آن در نتیجه تحلیل، می‌توان بار دیگر نتیجه گرفت که نوع طرح آزمایش در کیفیت کالیبراسیون اثر مهمی دارد که این موضوع مؤید یافته‌های بخش قبل است.

Interaction Plot - Data Means for CR1



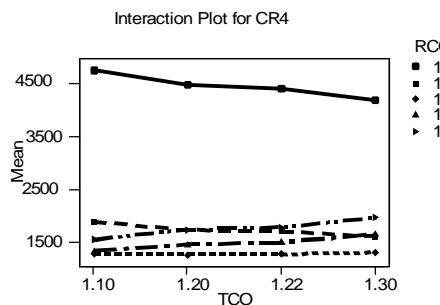
شکل ۷: نمودار اثر متقابل عوامل برای معیار اول.

شبیه‌ساز مورد نظر را می‌توان نسبت به دو معیار خطای برد و انحراف سمت، کالیبره کرد. معیار سوم بر اساس کمینه‌سازی میانگین فاصله پله‌ای نقاط اصابت آزمایش‌های میدانی از نقاط اصابت حاصل از آزمایش‌های شبیه‌ساز کالیبره‌نشده مطابق رابطه (۱۲) تعریف شده است که یک معیار خطای دوبعدی است.

$$CR_3_{jk} = \frac{\sum_{i=1}^9 (E_{R_{ijk}} + E_{A_{ijk}})}{9} \quad \forall j, k \quad (12)$$

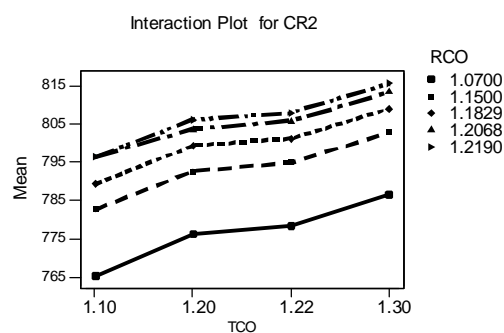
معیار چهارم بر اساس میانگین فاصله اقلیدسی نقاط اصابت آزمایش‌های میدانی از نقاط اصابت حاصل از آزمایش‌های شبیه‌ساز کالیبره‌نشده مطابق رابطه (۱۳) تعریف شده است.

$$CR_4_{jk} = \sqrt{\frac{\sum_{i=1}^9 (E_{R_{ijk}}^2 + E_{A_{ijk}}^2)}{9}} \quad \forall j, k \quad (13)$$

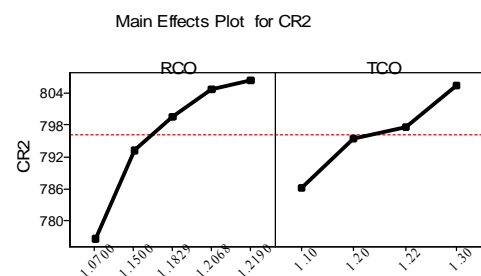


شکل ۱۱: نمودار اثر متقابل عوامل برای معیار سوم.

با در نظر گرفتن معیار سوم و با استفاده از نمودار اثر متقابل عوامل (شکل (۱۱)) و نمودار اثر عوامل (شکل (۱۲)) و تحلیل واریانس، سطح بهینه عوامل برابر با  $RCO = 1.1829, TCO = 1.2$  به دست می‌آید که مشابه مقادیر به دست آمده با معیار اول است. به ظاهر رویکرد پیشنهادی به نتیجه‌های که در بخش قبل با استفاده از روش سعی و خطا به دست آمده بود، منجر شد. در حین بررسی‌های رویکرد پیشنهادی ملاحظه شد که عوامل کالیبراسیون اثر متقابل ندارند. در صورت وجود اثر متقابل عوامل تخمین مقدار بهینه آنها با روش سعی و خطا خیلی سخت و شاید غیرممکن باشد. همچنین در صورتی که کالیبراسیون شبیه‌ساز بر اساس دو یا چند معیار به صورت همزمان مدنظر باشد به طور حتم انجام آن با روش سعی و خطا مشکل خواهد شد. رویکرد پیشنهادی علاوه بر مزیت نظاممند بودن و ارایه اطلاعات درباره اثر متقابل و



شکل ۹: نمودار اثر متقابل عوامل برای معیار دوم.



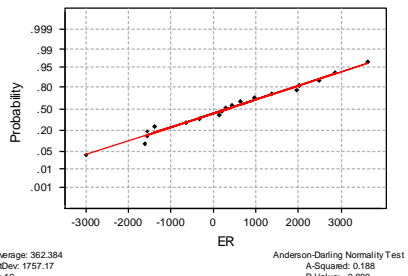
شکل ۱۰: نمودار اثر عوامل برای از معیار دوم.

(۲) تأثیر بهترین تنظیم سطوح عوامل نسبت به بدترین تنظیم در میانگین در حدود ۵۰ متر است. گرچه این مقدار از منظر آماری معنی‌دار است، ولی از منظر عملیاتی خیلی قابل توجه به نظر نمی‌رسد. با توجه به این نتایج ممکن است تصور شود خروجی شبیه‌ساز از منظر انحراف سمت با نتایج آزمایش‌های میدانی اختلاف چندانی ندارد که با بررسی خطای انحراف سمت آزمایش‌ها، این موضوع رد شد. بنابراین انحراف سمت شبیه‌ساز، حساسیت زیادی نسبت به این دو عوامل کالیبراسیون نداشته و لازم است عامل یا عوامل جدیدی برای کالیبراسیون آن تعریف کرد. با استفاده از ستون P-value در جدول (۱۲) می‌توان گفت اثر بلوك و هر دو عوامل در معیار دوم با معنی است. سطح بهینه عوامل‌ها با ملاحظه شکل (۱۰) برابر با  $RCO = 1.07, TCO = 1.1$  به دست می‌آید.

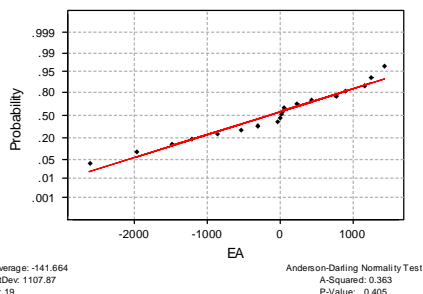
جدول ۱۲: تحلیل واریانس برای معیار دوم.

منبع	DF	مجموع مربعات	F	P-value
Blocks	8	107417158	8.4E+04	0.000
RCO	4	20782	32.61	0.000
TCO	3	8553	17.90	0.000
RCO*TCO	12	57	0.03	1.000
Error	152	24217		
Total	179	107470767		

روابط بین عوامل و معیار تصمیم‌گیری، مشکلات روش سعی و خطأ را نیز مرتفع می‌کند.



شکل ۱۵: آزمون اندرسون-دارلینگ برای نرمال بودن خطای برد.



شکل ۱۶: آزمون اندرسون-دارلینگ برای نرمال بودن خطای انحراف سمت.

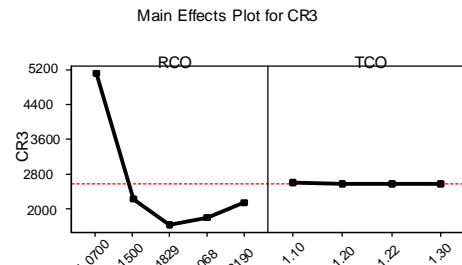
با استفاده از اطلاعات ۱۹ شلیک میدانی در دسترس، آزمایش‌های شبیه‌ساز بار دیگر انجام و برد و خطای انحراف سمت نقاط اصابت از شبیه‌ساز V استخراج شد. برای مقایسه کیفیت نتایج شبیه‌ساز با نتایج آزمایش‌های میدانی دو شاخص خطای برد و خطای انحراف سمت به ترتیب مطابق روابط (۱۴) و (۱۵) زیر استفاده شده‌است.

$$(14) E_{R_n} = R_n - S_n \quad \text{خطای برد}$$

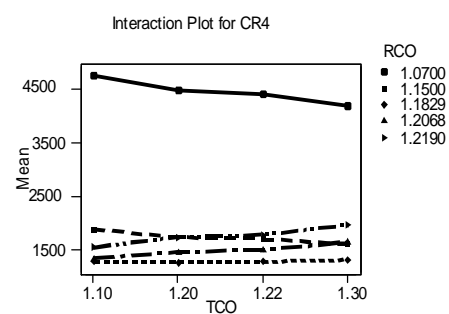
که در آن  $R_n$  برد حاصل از آزمایش  $n$  ام شبیه‌ساز و  $S_n$  برد حاصل از شلیک میدانی  $n$  ام است.

$$(15) E_{A_n} = AR_n - AS_n \quad \text{خطای انحراف سمت}$$

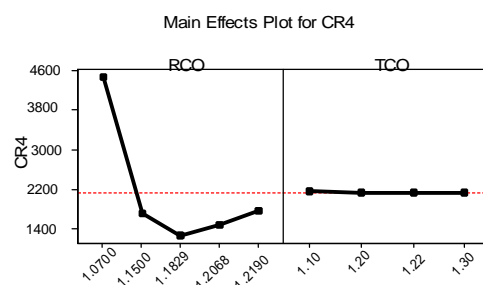
که در آن  $AS_n$  انحراف سمت حاصل از آزمایش  $n$  ام شبیه‌ساز و  $AR_n$  انحراف سمت حاصل از شلیک میدانی  $n$  ام است. با استفاده از شاخص‌های تعریف شده خطای برد و انحراف سمت هر بازه برد محاسبه شده است.



شکل ۱۲: نمودار اثر عوامل برای معیار سوم.



شکل ۱۳: نمودار اثر متقابلی عوامل برای معیار چهارم.



شکل ۱۴: نمودار اثر عوامل برای معیار چهارم.

### بررسی کیفیت شبیه‌ساز کالیبره شده V

در بخش‌های قبل با بررسی نوع طرح آزمایش برای کالیبراسیون، آزمایش‌های مورد نیاز با یک شبیه‌ساز مبنا بر انجام و شبیه‌ساز V کالیبره شد. حال این سؤال مطرح می‌شود که کفايت شبیه‌ساز کالیبره شده V برای توصیف نتایج آزمایش‌های واقعی چگونه است و چگونه می‌توان این مقوله را بررسی کرد که در ادامه به این موضوع می‌پردازیم.

که نتوان برد را به صورت یک متغیر پیوسته در نظر گرفت. در نتیجه می‌توان نقاط آزمایش را بر اساس یکی از طرح‌های آزمایش توزیع شده انتخاب کرد.

**جدول ۱۴: تحلیل واریانس خطای انحراف سمت.**

منبع	DF	میانگین مربعات	مجموع مربعات	F	P-value
برد	2	5407600	2703800	2.59	0.106
خطا	16	16685323	1042833		
کل	18	22092923			

### بررسی کفايت شبیه‌ساز V در توصیف میانگین و واریانس شلیک‌های میدانی

برای پاسخگویی به این سؤال که آیا شبیه‌ساز V کفايت لازم برای توصیف میانگین و واریانس شلیک‌های میدانی را دارد؟ برابری میانگین و واریانس خطای برد و انحراف سمت شلیک‌های میدانی با آزمایش‌های شبیه‌ساز V بررسی شد. با توجه به بی‌تأثیر بودن تقسیم برد به بازه‌های سه‌گانه و به دلیل فراهم کردن داده‌های کافی برای بررسی، ۱۹ شلیک واقعی در دسترس به صورت یکپارچه مورد تحلیل قرار گرفت.

آزمون‌های زیر برای مقایسه واریانس خطای برد و خطای انحراف سمت شلیک‌های میدانی و آزمایش‌های شبیه‌ساز طراحی شدند.

$H_0$  : واریانس برد شلیک‌های میدانی با واریانس برد آزمایش‌های شبیه‌ساز برابر است.

در جدول (۱۵)  $S_S = 12517m$  و  $S_F = 12791m$

$$\text{در نشان‌دهنده } F_0 = \frac{12517^2}{12791^2} = 0.95 \text{ است. در اینجا } S_F \text{ نشان‌دهنده}$$

انحراف معیار شلیک‌های واقعی در دسترس،  $S_S$  نشان‌دهنده انحراف معیار آزمایش‌های شبیه‌ساز V و  $F_0$  نشان‌دهنده آماره F است. همچنین ناحیه پذیرش  $H_0$  برابر با  $F_{0.975, 18, 18} < F < F_{0.025, 18, 18}$  است.

یعنی  $2.5956 < F_0 < 0.3853$  است. با توجه به مقدار  $F_0$  فرض  $H_0$  رد نمی‌شود. آزمون فرض دیگر عبارت است از  $H_0$  : واریانس انحراف سمت شلیک‌های میدانی با واریانس آزمایش‌های شبیه‌ساز برابر است.

از آنجا که در جدول (۱۶)  $S_F = 758.96m$

$$\text{و } S_S = 1001.7m \text{ و } F_0 = \frac{1001.7^2}{758.96^2} = 1.74 \text{ و همچنین}$$

ناحیه پذیرش  $H_0$  همان فاصله  $0.3853 < F_0 < 2.5956$  است، فرض  $H_0$  رد نمی‌شود.

**بررسی ویژگی‌های آماری خطای برد و انحراف سمت**  
از آنجا که مدل توزیع خطاهای برد را تحلیل واریانس و آزمون فرض‌های ارائه شده، نقش اساسی بازی می‌کند، با استفاده از آزمون‌های مختلف، نرمال بودن توزیع خطاهای با استفاده از نرم‌افزار Minitab مورد بررسی قرار گرفت. نرمال بودن توزیع خطای برد و خطای انحراف سمت با دو آزمون اندرسون-دارلینگ (شکل های ۱۵ و ۱۶) و کالموگروف-اسمبرونف بررسی شد که با توجه به نتایج این آزمون‌ها نمی‌توان فرض نرمال بودن خطاهای را رد کرد.

### بررسی معنادار بودن تقسیم برد به سه بازه کوتاه، متوسط و بلند

#### (الف) بررسی خطای برد

با توجه به اینکه در عمل اغلب برد به سه بازه تقسیم می‌شود، ابتدا با استفاده از تحلیل واریانس، معنادار بودن این تقسیم‌بندی مورد بررسی قرار گرفت. در این بررسی برد به عنوان یک عامل سه سطحی در نظر گرفته شد و آزمون‌های آماری معینی با استفاده از نرم‌افزار Minitab انجام گرفت که در ادامه نتایج آن ارائه شده است. فرض صفر آن است که میانگین خطای برد سه بازه با هم برابر است و فرض  $H_1$  : آن است که حداقل یکی از سه میانگین خطای برد با سایر میانگین خطاهای متفاوت است. با توجه به اینکه در جدول (۱۳) مقدار  $P\text{-value} > 0.05$  است، نمی‌توان فرض  $H_0$  را رد کرد. یعنی میانگین خطای برد در سه بازه با هم تفاوت معناداری ندارند.

**جدول ۱۳: تحلیل واریانس خطای برد در سه بازه.**

منبع	DF	میانگین مربعات	مجموع مربعات	F	P-value
برد	2	1492498	746249	0.22	0.804
خطا	16	54085633	3380352		
کل	18	55578131			

#### (ب) بررسی خطای انحراف سمت

در ادامه با هدف بررسی تأثیر بازه برد روی خطای انحراف سمت آزمایش‌ها، آزمون فرض زیر انجام شد.  
 $H_0$  : میانگین خطای انحراف سمت سه بازه با هم برابر است.

با استفاده از نتایج جدول (۱۴) فرض  $H_0$  در سطح ۵ درصد رد نمی‌شود. با استناد به نتایج تحلیل واریانس هر دو خطاهای برد و انحراف سمت، شواهدی در دست نیست

### نتیجه‌گیری

با استناد به نتایج تحلیل‌های انجام‌شده می‌توان گفت تأثیر نوع طرح آزمایش بر کیفیت کالیبراسیون معنی‌دار است و برای شبیه‌ساز پرواز شش درجه آزادی مورد نظر طرح آزمایش بر اساس توزیع مثلثی مناسب است. همچنین توزیع مثلثی از منظر میزان اطلاعات نسبت به طرح یکنواخت و طرح تجربی نیز بهتر است. از آنجا که منطقی برای انتخاب تعداد آزمایش‌های مورد نیاز کالیبراسیون در دست نبود، با استفاده ازتابع انتروپی، روشی برای آن پیشنهاد شد. همچنین رویکردی برای بررسی کفايت شبیه‌ساز کالیبره شده مبتنی بر آزمون فرض پایه‌گذاری شد.

همان طوری که در بخش‌های قبل گفته شد، به دلیل نبود امکان انجام شلیک‌های میدانی، بررسی‌ها با استفاده از یک شبیه‌ساز مبنا انجام شد. در صورتی که شلیک‌های میدانی انجام شود، امکان دارد نتایج کالیبراسیون بهبود یابد.

تخمین عوامل کالیبراسیون به صورت سعی و خطاب دارای مشکلاتی از قبیل نبود امکان تشخیص اثر متقابل عوامل و ناتوانی کالیبراسیون با بیش از یک معیار است. رویکرد پیشنهادی علاوه بر مرتفع کردن مشکلات روش سعی و خطاب، رویکردی نظاممند است و اطلاعات ارزشمندی در اختیار می‌گذارد. به طور کلی کفايت شبیه‌ساز کالیبره شده با روش پیشنهادی خوب ارزیابی شد. گرچه در بعضی از آزمایش‌ها، سمت اصابت آزمایش‌های شبیه‌ساز با سمت اصابت شلیک‌های میدانی مطابقت ندارد. به نظر می‌رسد انحراف سمت آزمایش‌های شبیه‌ساز با عوامل تعریف شده قابل کالیبره کردن نیست.

همچنین میانگین برد و انحراف سمت شلیک‌های میدانی و شبیه‌ساز V با استفاده از آزمون‌های زیر مقایسه شده است.

H<sub>0</sub> : میانگین برد شلیک‌های میدانی با آزمایش‌های شبیه‌ساز برابر است.

با توجه به نتیجه آزمون T (در جدول (۱۵)) فرض H<sub>0</sub> در سطح  $\alpha = 0.05$  رد نمی‌شود. یعنی تفاوت معناداری بین میانگین برد شلیک‌های میدانی و شبیه‌ساز V وجود ندارد.

جدول ۱۵: نتایج آزمون T برای مقایسه میانگین برد شلیک‌های میدانی و شبیه‌ساز V

شبیه‌ساز	میانگین	معیار	انحراف معیار	N	میانگین	معیار	انحراف معیار		
برد میدان	19	62441	12791	2935	برد شبیه‌ساز	19	62072	12517	2872

P-Value = 0.929

آزمون فرض دیگر عبارت است از H<sub>0</sub> : میانگین انحراف سمت در شلیک‌های میدانی و در آزمایش‌های شبیه‌ساز برابرند. بر اساس نتایج آزمون T (در جدول (۱۶)) فرض H<sub>0</sub> در سطح  $\alpha = 0.05$  رد نمی‌شود. یعنی تفاوت معناداری بین میانگین خطاهای انحراف سمت در شبیه‌ساز و آزمایش‌های میدانی وجود ندارد. با استفاده از نتایج آزمون‌های ارائه شده شواهدی دال بر عدم کفايت شبیه‌ساز V در دسترس نیست.

جدول ۱۶: نتایج آزمون T برای مقایسه میانگین انحراف سمت آزمایش‌های

شبیه‌ساز	شیوه سمت	میانگین	معیار	انحراف معیار	میانگین	معیار	انحراف معیار		
انحراف سمت میدان	19	1063	758.۹۶	174	انحراف سمت شبیه‌ساز	19	1230	1001.۷	230

P-Value = 0.566

### مراجع

- Montgomery, D.C. (2001). *Design and Analysis of Experiments*. John Wiley & Sons, New York.
- Myers, R.H. and Montgomery, D.C. (2002). *Response Surface Methodology*. John Wiley & Sons, New York.
- Santner, T.J., Williams, B.J. and Notz, W.I (2003). *The Design and Analysis of Computer Experiments*. Springer-Verlag Inc., New York.
- Koehler, J.R. and Owen, A.B. (1996). "Computer experiments." *Handbook of statistics*. Vol. 13, Edited by Ghosh, S., Rao, C., Elsevier Science.

- 5- Sacks, J., Welch, W.J., Mitchell, J.J. and Wynn, H.P. (1989). "Design and analysis of computer experiments." *Statistical Science*, 4(4), PP. 409-435.
- 6- Butler, N.A. (2001), "Optimal and orthogonal latin hypercube design for computer experiments." *Biometrika*, 88(3), PP. 847-857.
- 7- Mckay, M.D., Beckman, R.J. and Conover, W.J. (1979), "A comparison of three method for selecting values of input variables in the analysis of output from a computer code." *Technomertica*, 21(2), PP. 239-245.
- 8- Welch, W.J., Buck, R.J., Sacks, J. and et, al. (1992). "Screening, predicting and computer experiments." *Technimetrics*, 34(1), 1992, PP. 15-25.
- 9- Sacks,J., Schiller, S.B. and Welch, W.J. (1989), "Designs for computer experiments." *Technomerics*, 31(1), PP. 41-47.
- 10- Houston, D., Ferreira, S. and Montogomery, D.C. (2005), "Using unreplicated  $2^{k-r}$  design for characterizing moderately dimensioned deterministic computer models." *Quality and Reliability Engineering International*, 21, PP. 809-824.
- 11- Li, R. (2002) "Model selection for analysis of uniform design and computer experiments." *International Journal of Reliability, Quality and Safety Engineering*, 9(4), PP. 367-382.
- 12- kennedy, M.C. and O'Hagan, A. (2001) "Bayesian calibration of computer models." *Journal of Royal Statistical Society, (Series B)*, 63(3), PP. 425-464.
- 13- Bayarri, M.J., Berger, J.O., Higdon, D., Kennedy, M.C. and et al. (2002). "A Framework for validation of computer models." Technical Report, 128, National Institute of Statistical Science (NISS), [www.niss.org](http://www.niss.org).
- 14- *Military Handbook*, (1990). "Design of aerodynamically stabilized free rockets." MIL-HDBK\_762 (MI).
- 15- MATLAB Statistical Toolbox Version 6.5 (2002), Math Works Inc.
- 16- Atkinson, A.C., Donev, A.N. (1992). *Optimum Experimental Designs* Oxford University Press.
- 17- Lee, J. (1998). "Constrained maximum-entropy sampling." *Operations Research*, 46(5), PP. 655-664.
- 18- Papoulis, A. and Pillai, S.U. (2002). *Probability, Random Variables and stochastic processes* 4<sup>th</sup> edition, McGraw-Hill Companies, Inc.

### واژه‌های انگلیسی به ترتیب استفاده در متن

- 1- Deterministic
- 2- Latin Hypercube
- 3- Paired T-Test
- 4- Information Matrix